

12 Dvouvýběrové neparametrické testy

12.1 Wilcoxonův dvouvýběrový exaktní test

Nechť X_{11}, \dots, X_{1n_1} , $n_1 \geq 2$ je náhodný výběr ze spojitého rozdělení s distribuční funkcí $F_1(x)$ a X_{21}, \dots, X_{2n_2} , $n_2 > 2$ je na něm nezávislý náhodný výběr ze spojitého rozdělení s distribuční funkcí $F_2(x)$. O distribučních funkcích $F_1(x)$ a $F_2(x)$ předpokládáme, že se navzájem liší pouze posunutím. Nechť dále \tilde{x}_1 je medián náhodného výběru X_{11}, \dots, X_{1n_1} a \tilde{x}_2 je medián náhodného výběru X_{21}, \dots, X_{2n_2} a \tilde{x}_0 je konstanta. Na hladině významnosti α testujeme jednu z následujících tří hypotéz oproti příslušné alternativní hypotéze.

$$\begin{array}{lll} H_{01} : \tilde{x}_1 - \tilde{x}_2 = \tilde{x}_0 & \text{oproti} & H_{11} : \tilde{x}_1 - \tilde{x}_2 \neq \tilde{x}_0 \quad (\text{oboustranná alt.}) \\ H_{02} : \tilde{x}_1 - \tilde{x}_2 \leq \tilde{x}_0 & \text{oproti} & H_{12} : \tilde{x}_1 - \tilde{x}_2 > \tilde{x}_0 \quad (\text{pravostranná alt.}) \\ H_{03} : \tilde{x}_1 - \tilde{x}_2 \geq \tilde{x}_0 & \text{oproti} & H_{13} : \tilde{x}_1 - \tilde{x}_2 < \tilde{x}_0 \quad (\text{levostranná alt.}) \end{array}$$

Test nazýváme Wilcoxonův dvouvýběrový exaktní test o rozdílu mediánů $\tilde{x}_1 - \tilde{x}_2$. Testovací statistika má tvar

$$S_E = \sum_{j=1}^{n_2} S_j \quad (12.1)$$

kde n_2 je rozsah druhého náhodného výběru a S_j , $j = 1, \dots, n_2$, je pořadí náhodných veličin X_{21}, \dots, X_{2n_2} druhého náhodného výběru v seřazeném vektoru všech $n_1 + n_2$ hodnot z obou náhodných výběrů. Statistika W je tedy součet pořadí hodnot X_{21}, \dots, X_{2n_2} , v seřazeném vektoru všech $n_1 + n_2$ hodnot. Kritický obor podle zvolené alternativní hypotézy má tvar

$$\begin{array}{ll} H_{11} : \tilde{x}_1 - \tilde{x}_2 \neq \tilde{x}_0 & W = (-\infty ; w_{n_1, n_2}(\alpha/2)) \cup (w_{n_1, n_2}(1 - \alpha/2) ; \infty) \\ H_{12} : \tilde{x}_1 - \tilde{x}_2 > \tilde{x}_0 & W = (w_{n_1, n_2}(1 - \alpha) ; \infty) \\ H_{13} : \tilde{x}_1 - \tilde{x}_2 < \tilde{x}_0 & W = (-\infty ; w_{n_1, n_2}(\alpha)) \end{array}$$

kde $w_{n_1, n_2}(\alpha/2)$, $w_{n_1, n_2}(1 - \alpha/2)$, $w_{n_1, n_2}(\alpha)$, $w_{n_1, n_2}(1 - \alpha)$ jsou tabelované kvantily pro dvouvýběrový Wilcoxonův test, jejichž hodnoty získáme příkazem `qwilcox()`.

Interval spolehlivosti má podle zvolené alternativní hypotézy jeden z následujících tvarů

$$\begin{array}{ll} H_{11} : \tilde{x}_1 - \tilde{x}_2 \neq \tilde{x}_0 & (d, h) = (U^{(w_{n_1, n_2}(\alpha/2))} ; U^{(w_{n_1, n_2}(1 - \alpha/2) + 1)}) \\ H_{12} : \tilde{x}_1 - \tilde{x}_2 > \tilde{x}_0 & (d, \infty) = (U^{(w_{n_1, n_2}(\alpha))} ; \infty) \\ H_{13} : \tilde{x}_1 - \tilde{x}_2 < \tilde{x}_0 & (-\infty, h) = (-\infty ; U^{(w_{n_1, n_2}(1 - \alpha) + 1)}) \end{array}$$

kde $U^{(1)} \leq \dots \leq U^{(n_1 n_2)}$ značí vzestupně seřazené rozdíly $Y_j - X_i$, $i = 1, \dots, n_1$, $j = 1, \dots, n_2$, a $U^{(x)}$ značí x -tý seřazený rozdíl.

p -hodnota má v závislosti na zvolené alternativní hypotéze jeden z následujících tvarů

$$\begin{array}{ll} H_{11} : \tilde{x}_1 - \tilde{x}_2 \neq \tilde{x}_0 & p\text{-hodnota} = 2 \min\{\Pr(S_E \leq s_E), \Pr(S_E > s_E)\} \\ H_{12} : \tilde{x}_1 - \tilde{x}_2 > \tilde{x}_0 & p\text{-hodnota} = \Pr(S_E > s_E) = 1 - \Pr(S_E \leq s_E) \\ H_{13} : \tilde{x}_1 - \tilde{x}_2 < \tilde{x}_0 & p\text{-hodnota} = \Pr(S_E \leq s_E) \end{array}$$

kde S_E je náhodná veličina, s_E je realizace testovací statistiky S_E (viz vzorec 12.1), tedy konkrétní číslo, a $\Pr(S_E \leq s_E)$ je distribuční funkce tabelovaného rozdělení pro Wilcoxonův dvouvýběrový exaktní test, jejíž hodnotu získáme pomocí  a implementované funkce `pwilcox()`.

```
1 # ZKONTROLOVAT BARVY
```

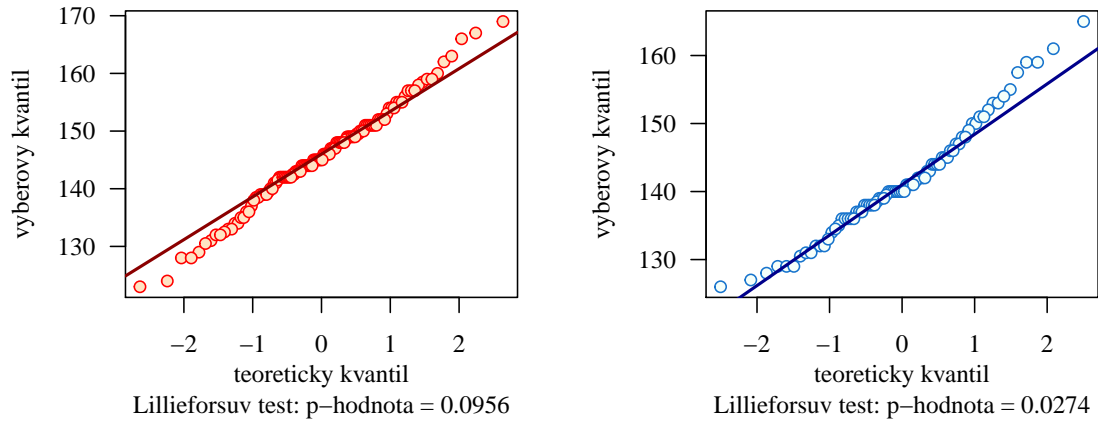
Příklad 12.1. Wilcoxonův dvouvýběrový exaktní test

Řešení příkladu 12.1

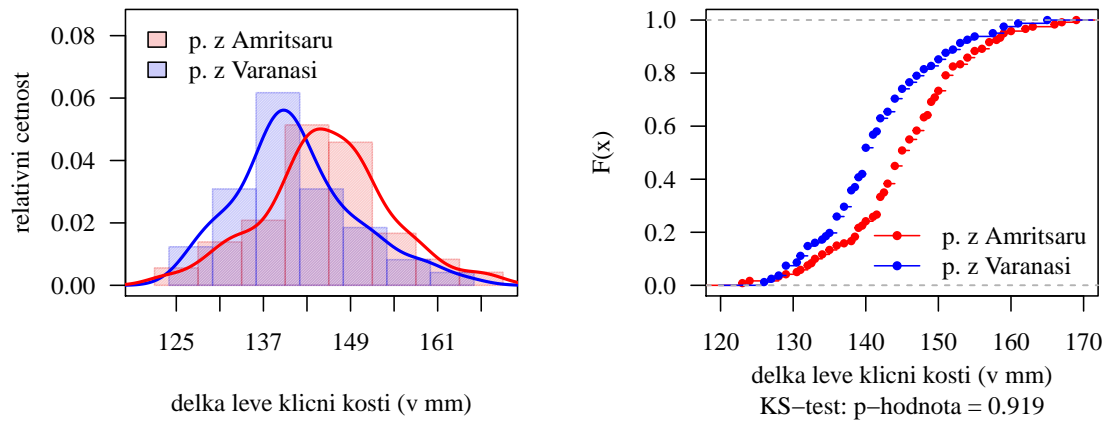
```
2 data <- read.delim('00-Data//18-more-samples-variances-clavicle.txt')
3 head(data)
4 cla.LI1 <- data[data$pop == 'ind1', 'cla.L']
5 cla.LI1 <- na.omit(cla.LI1)
6 cla.LI2 <- data[data$pop == 'ind2', 'cla.L']
7 cla.LI2 <- na.omit(cla.LI2)
8 n1 <- length(cla.LI1)
9 n2 <- length(cla.LI2)

10 par(mar = c(5, 4, 1, 2), family = 'Times')
11 qqnorm(cla.LI1, main = '', xlab = '', pch = 21, col = 'red', bg = 'bisque',
12         ylab = 'vyberovy kvantil', las = 1)
13 mtext('teoreticky kvantil', side = 1, line = 2)
14 mtext(bquote(paste('Lillieforsuv test: p-hodnota = ', .(round(nortest::lillie.test(cla.
15             LI1)$p.val, 4)))),
16         side = 1, line = 3.2)
17 qqline(cla.LI1, lwd = 2, col = 'darkred')
18 qqnorm(cla.LI2, main = '', xlab = '', pch = 21, col = 'dodgerblue3', bg = 'mintcream',
19         ylab = 'vyberovy kvantil', las = 1)
20 mtext('teoreticky kvantil', side = 1, line = 2)
21 mtext(bquote(paste('Lillieforsuv test: p-hodnota = ', .(round(nortest::lillie.test(cla.
22             LI2)$p.val, 4)))),
23         side = 1, line = 3.2)
24 qqline(cla.LI2, lwd = 2, col = 'darkblue')
```





Obrázek 1: Kvantilové diagramy délky klíční kosti z levé strany u mužů indické populace z Amritsaru (vlevo) a indické populace z Varanasi (vpravo)



Obrázek 2: Porovnání histogramů a graf distribučních funkcí délky klíční kosti z levé strany u mužů indické populace z Amritsaru a indické populace z Varanasi

```

24 par(mar = c(5, 4, 1, 2), family = 'Times')
25 hist(cla.LI1, prob = T, breaks = seq(122, 170, by = 6), main = '', axes = F,
26       col = rgb(0.9, 0, 0, 0.2), density = 80, xlim = c(120, 170),
27       xlab = 'delka leve klicni kosti (v mm)', ylim = c(0, 0.085),
28       ylab = 'relativni cetnost')
29 hist(cla.LI2, prob = T, breaks = seq(124, 166, by = 6), main = '', axes = F,
30       col = rgb(0, 0, 0.9, 0.2), density = 80, add = T)
31 box(bty = 'o')
32 axis(1, seq(125, 167, by = 6))
33 axis(2, las = 1)
34 lines(density(cla.LI2), lwd = 2, col = 'blue')
35 lines(density(cla.LI1), lwd = 2, col = 'red')
36 legend('topleft', fill = c(rgb(0.9, 0, 0, 0.2), rgb(0, 0, 0.9, 0.2)),
37         legend = c('p. z Amritsaru', 'p. z Varanasi'), bty = 'n')
38
39 plot(ecdf(cla.LI1), col = 'red', main = '', xlim = c(120, 170), ylab = 'F(x)',
40       xlab = '', las = 1, cex = 0.6)
41 plot(ecdf(cla.LI2), add = T, col = 'blue', cex = 0.6)
42 ks.val <- round(ks.test(cla.LI2-mean(cla.LI2), cla.LI1-(mean(cla.LI1)))$p.val, 4)
43 mtext('delka leve klicni kosti (v mm)', side = 1, line = 2.1)
44 mtext(bquote(paste('KS-test: p-hodnota = ', .(ks.val))), side = 1, line = 3.3)
45 legend('bottomright', col = c('red', 'blue'), lty = 1, pch = 20,
46         legend = c('p. z Amritsaru', 'p. z Varanasi'), bty = 'n')

```

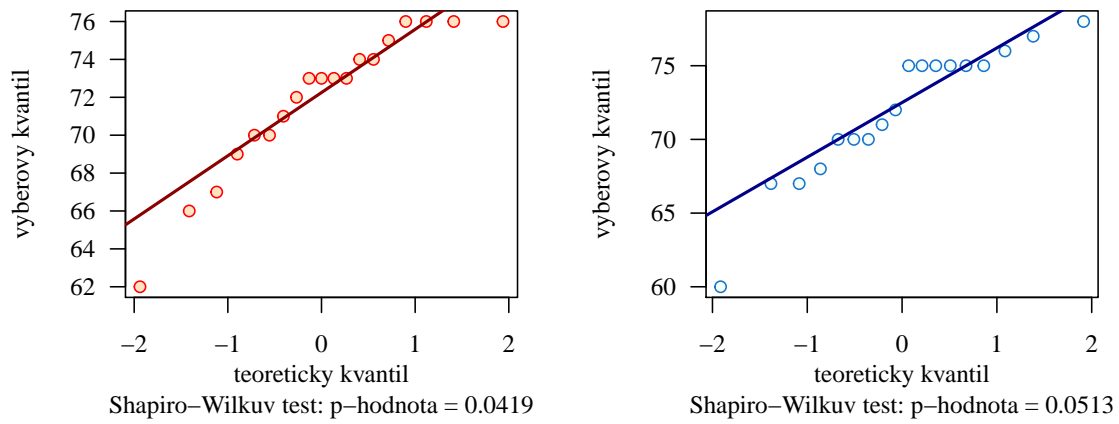
Příklad 12.2. Wilcoxonův dvouvýběrový exaktní test

Řešení příkladu 12.2

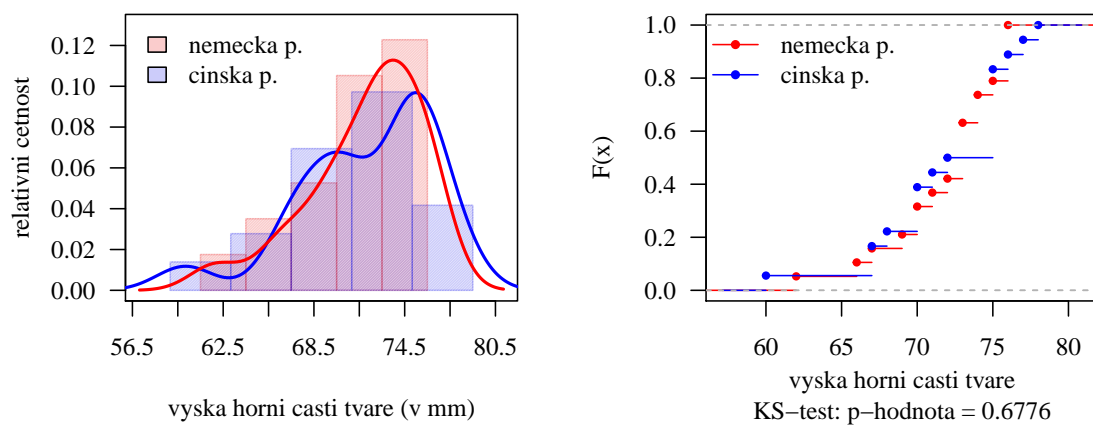
```
47 data <- read.delim('00-Data//15-anova-means-skull.txt')
48 head(data)
49 upface.HN <- data[data$pop == 'nem', 'upface.H']
50 upface.HN <- na.omit(upface.HN)
51 upface.HC <- data[data$pop == 'cin', 'upface.H']
52 upface.HC <- na.omit(upface.HC)
53 n1 <- length(upface.HN)
54 n2 <- length(upface.HC)

55 par(mar = c(5, 4, 1, 2), family = 'Times')
56 qqnorm(upface.HN, main = '', xlab = '', pch = 21, col = 'red', bg = 'bisque',
57         ylab = 'vyberovy kvantil', las = 1)
58 mtext('teoreticky kvantil', side = 1, line = 2)
59 mtext(bquote(paste('Shapiro-Wilkuv test: p-hodnota = ', .(round(shapiro.test(upface.HN)$
60             p.val, 4)))), ,
61             side = 1, line = 3.2)
62 qqline(upface.HN, lwd = 2, col = 'darkred')
63 qqnorm(upface.HC, main = '', xlab = '', pch = 21, col = 'dodgerblue3', bg = 'mintcream',
64         ylab = 'vyberovy kvantil', las = 1)
65 mtext('teoreticky kvantil', side = 1, line = 2)
66 mtext(bquote(paste('Shapiro-Wilkuv test: p-hodnota = ', .(round(shapiro.test(upface.HC)$
67             p.val, 4)))), ,
68             side = 1, line = 3.2)
68 qqline(upface.HC, lwd = 2, col = 'darkblue')
```





Obrázek 3: Kvantilové diagramy výšky horní části tváře mužů německé populace (vlevo) a čínské populace (vpravo)



Obrázek 4: Porovnání histogramů a graf distribučních funkcí výšky horní části tváře mužů německé a čínské populace

```

69 par(mar = c(5, 4, 1, 2), family = 'Times')
70 hist(upface.HN, prob = T, breaks = seq(61, 76, by = 3), main = '', axes = F,
71       col = rgb(0.9, 0, 0, 0.2), density = 80, ylim = c(0, 0.13), xlim = c(57, 81),
72       xlab = 'vyska horni casti tvare (v mm)',
73       ylab = 'relativni cetnost')
74
75 hist(upface.HC, prob = T, breaks = seq(59, 79, by = 4), main = '', axes = F,
76       col = rgb(0, 0, 0.9, 0.2), density = 80, add = T)
77 box(bty = 'o')
78 axis(1, seq(53.5, 80.5, by = 3))
79 axis(2, las = 1)
80 lines(density(upface.HC), lwd = 2, col = 'blue')
81 lines(density(upface.HN), lwd = 2, col = 'red')
82 legend('topleft', fill = c(rgb(0.9, 0, 0, 0.2), rgb(0, 0, 0.9, 0.2)),
83         legend = c('nemecka p.', 'cinska p.'), bty = 'n')
84
85 plot(ecdf(upface.HN), col = 'red', main = '', xlim = c(57, 81), ylab = 'F(x)',
86       xlab = '', las = 1, cex = 0.6)
87 plot(ecdf(upface.HC), add = T, col = 'blue', cex = 0.6)
88 ks.val <- round(ks.test(upface.HC - mean(upface.HC), upface.HN - (mean(upface.HN)))$p.
89   val, 4)
89 mtext('vyska horni casti tvare', side = 1, line = 2.1)
90 mtext(bquote(paste('KS-test: p-hodnota = ', .(ks.val))), side = 1, line = 3.3)
91 legend('topleft', col = c('red', 'blue'), lty = 1, pch = 20,
92         legend = c('nemecka p.', 'cinska p.'), bty = 'n')

```

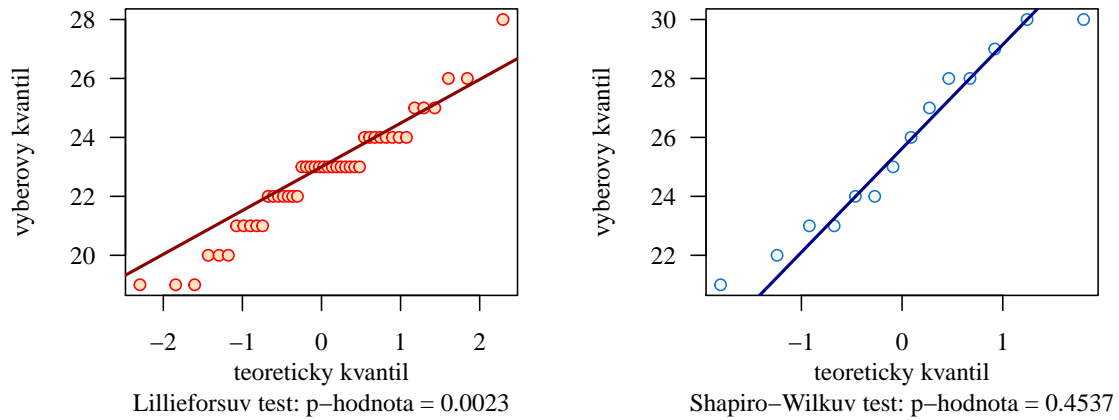
Příklad 12.3. Wilcoxonův dvouvýběrový exaktní test

Řešení příkladu 12.3

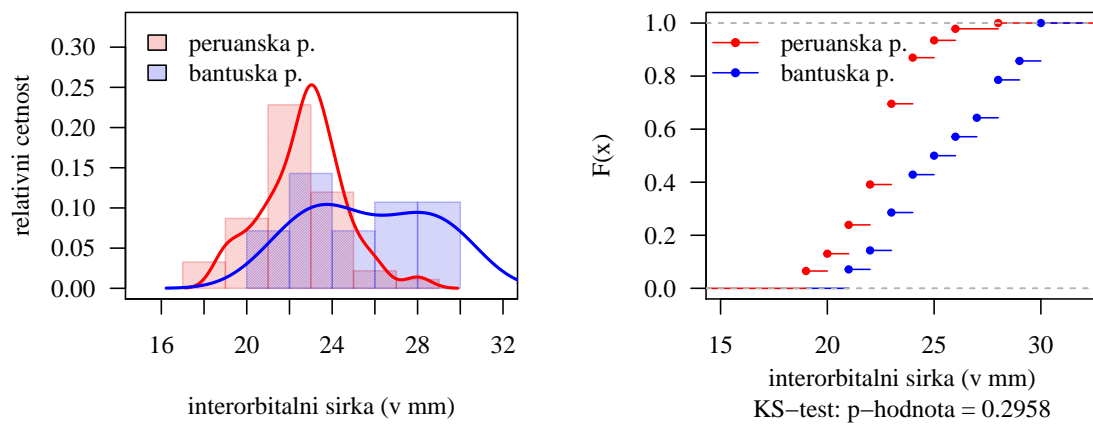
```
93 data <- read.delim('00-Data//19-more-samples-correlations-skull.txt')
94 head(data)
95 intorb.BP <- data[data$pop == 'per', 'intorb.B']
96 intorb.BP <- na.omit(intorb.BP)
97 intorb.BB <- data[data$pop == 'ban', 'intorb.B']
98 intorb.BB <- na.omit(intorb.BB)
99 n1 <- length(intorb.BP) # 46
100 n2 <- length(intorb.BB) # 14
```

```
101 par(mar = c(5, 4, 1, 2), family = 'Times')
102 qqnorm(intorb.BP, main = '', xlab = '', pch = 21, col = 'red', bg = 'bisque',
103         ylab = 'vyberovy kvantil', las = 1)
104 mtext('teoreticky kvantil', side = 1, line = 2)
105 mtext(bquote(paste('Lillieforsuv test: p-hodnota = ', .(round(nortest::lillie.test(
106     intorb.BP)$p.val, 4)))), 
107     side = 1, line = 3.2)
108 qqline(intorb.BP, lwd = 2, col = 'darkred')
109 qqnorm(intorb.BB, main = '', xlab = '', pch = 21, col = 'dodgerblue3', bg = 'mintcream',
110         ylab = 'vyberovy kvantil', las = 1)
111 mtext('teoreticky kvantil', side = 1, line = 2)
112 mtext(bquote(paste('Shapiro-Wilkuv test: p-hodnota = ', .(round(shapiro.test(intorb.BB)$
113     p.val, 4)))), 
114     side = 1, line = 3.2)
115 qqline(intorb.BB, lwd = 2, col = 'darkblue')
```





Obrázek 5: Porovnání histogramů a graf distribučních funkcí interorbitální šířky mužů peruánské a bantuské populace



Obrázek 6: Porovnání histogramů a graf distribučních funkcí interorbitální šířky mužů peruánské a bantuské populace

```

115 par(mar = c(5, 4, 1, 2), family = 'Times')
116 hist(intorb.BP, prob = T, breaks = seq(17, 29, by = 2), main = '', axes = F,
117       col = rgb(0.9, 0, 0, 0.2), density = 80, xlim = c(15, 32), ylim = c(0, 0.33),
118       xlab = 'interorbitalni sirka (v mm)',
119       ylab = 'relativni cetnost')
120 hist(intorb.BB, prob = T, breaks = seq(20, 30, by = 2), main = '', axes = F,
121       col = rgb(0, 0, 0.9, 0.2), density = 80, add = T)
122 box(bty = 'o')
123 axis(1, seq(12, 36, by = 2))
124 axis(2, las = 1)
125 lines(density(intorb.BP), lwd = 2, col = 'red')
126 lines(density(intorb.BB), lwd = 2, col = 'blue')
127 legend('topleft', fill = c(rgb(0.9, 0, 0, 0.2), rgb(0, 0, 0.9, 0.2)),
128         legend = c('peruanska p.', 'bantuska p.'), bty = 'n')
129
130 plot(ecdf(intorb.BP), col = 'red', main = '', xlim = c(15, 32), ylab = 'F(x)',
131       xlab = '', las = 1, cex = 0.6)
132 plot(ecdf(intorb.BB), add = T, col = 'blue', cex = 0.6)
133 ks.val <- round(ks.test(intorb.BP - mean(intorb.BP), intorb.BB - (mean(intorb.BB)))$p.
134   val, 4)
134 mtext('interorbitalni sirka (v mm)', side = 1, line = 2.1)
135 mtext(bquote(paste('KS-test: p-hodnota = ', .(ks.val))), side = 1, line = 3.3)
136
137 legend('topleft', col = c('red', 'blue'), lty = 1, pch = 20,
138         legend = c('peruanska p.', 'bantuska p.'), bty = 'n')

```

12.2 Wilcoxonův dvouvýběrový asymptotický test

Pro náhodné výběry o rozsazích $n_1 > 30$ a $n_2 > 30$ máme možnost použít k otestování nulové hypotézy asymptotickou variantu testu. Tuto variantu nazýváme Wilcoxonův dvouvýběrový asymptotický test o rozdílu mediánů $\tilde{x}_1 - \tilde{x}_2$. Testovací statistika asymptotického testu má tvar

$$S_A = \frac{S_E - \frac{n_2(n_1+n_2+1)}{2}}{\sqrt{\frac{n_1n_2(n_1+n_2+1)}{12}}} \quad (12.2)$$

kde S_E je testovací statistika definovaná vztahem 12.1, n_1 je rozsah prvního náhodného výběru, n_2 je rozsah druhého náhodného výběru. Za platnosti nulové hypotézy pochází statistika U_A ze standardizovaného normálního rozdělení, tj.

$$S_A = \frac{S_E - \frac{n_2(n_1+n_2+1)}{2}}{\sqrt{\frac{n_1n_2(n_1+n_2+1)}{12}}} \stackrel{H_0}{\sim} N(0, 1).$$

Kritický obor podle zvolené alternativní hypotézy má tvar

$$\begin{array}{ll} H_{11} : \tilde{x}_1 - \tilde{x}_2 \neq \tilde{x}_0 & W = (-\infty; u_{\alpha/2}) \cup (u_{1-\alpha/2}; \infty) \\ H_{12} : \tilde{x}_1 - \tilde{x}_2 > \tilde{x}_0 & W = (u_{1-\alpha}; \infty) \\ H_{13} : \tilde{x}_1 - \tilde{x}_2 < \tilde{x}_0 & W = (-\infty; u_\alpha) \end{array}$$

kde $u_{\alpha/2}$, $u_{1-\alpha/2}$, u_α , $u_{1-\alpha}$ jsou kvantily standardizovaného normálního rozdělení, jejichž hodnoty získáme pomocí  a implementované funkce `qnorm()`.

Interval spolehlivosti má podle zvolené alternativní hypotézy jeden z následujících tvarů

$$\begin{array}{ll} H_{11} : \tilde{x}_1 - \tilde{x}_2 \neq \tilde{x}_0 & (d, h) = (U^{(C_{\alpha/2})}; U^{(n_1n_2+1-C_{\alpha/2})}) \\ H_{12} : \tilde{x}_1 - \tilde{x}_2 > \tilde{x}_0 & (d, \infty) = (U^{(C_\alpha)}; \infty) \\ H_{13} : \tilde{x}_1 - \tilde{x}_2 < \tilde{x}_0 & (-\infty, h) = (-\infty; U^{n_1n_2+1-C_{\alpha/2}}) \end{array}$$

kde $C_{\alpha/2} = \frac{n_1n_2}{2} - u_{\alpha/2}\sqrt{\frac{n_1n_2(n_1+n_2+1)}{12}}$, $C_\alpha = \frac{n_1n_2}{2} - u_\alpha\sqrt{\frac{n_1n_2(n_1+n_2+1)}{12}}$, $U^{(1)} \leq \dots \leq U^{(n_1n_2)}$ značí vzestupně seřazené rozdíly $Y_j - X_i$, $i = 1, \dots, n_1$, $j = 1, \dots, n_2$, a $U^{(x)}$ značí x -tý seřazený rozdíl.

p -hodnota má v závislosti na zvolené alternativní hypotéze jeden z následujících tvarů

$$\begin{array}{ll} H_{11} : \tilde{x}_1 - \tilde{x}_2 \neq \tilde{x}_0 & p\text{-hodnota} = 2 \min\{\Pr(S_A \leq s_A), \Pr(S_A > s_A)\} \\ H_{12} : \tilde{x}_1 - \tilde{x}_2 > \tilde{x}_0 & p\text{-hodnota} = \Pr(S_A > s_A) = 1 - \Pr(S_A \leq s_A) \\ H_{13} : \tilde{x}_1 - \tilde{x}_2 < \tilde{x}_0 & p\text{-hodnota} = \Pr(S_A \leq s_A) \end{array}$$

kde S_A je náhodná veličina, s_A je realizace testovací statistiky S_A (viz vzorec 12.2), tedy konkrétní číslo, a $\Pr(S_A \leq s_A)$ je distribuční funkce standardizovaného normálního rozdělení, jejíž hodnotu získáme pomocí  a implementované funkce `pnorm()`.

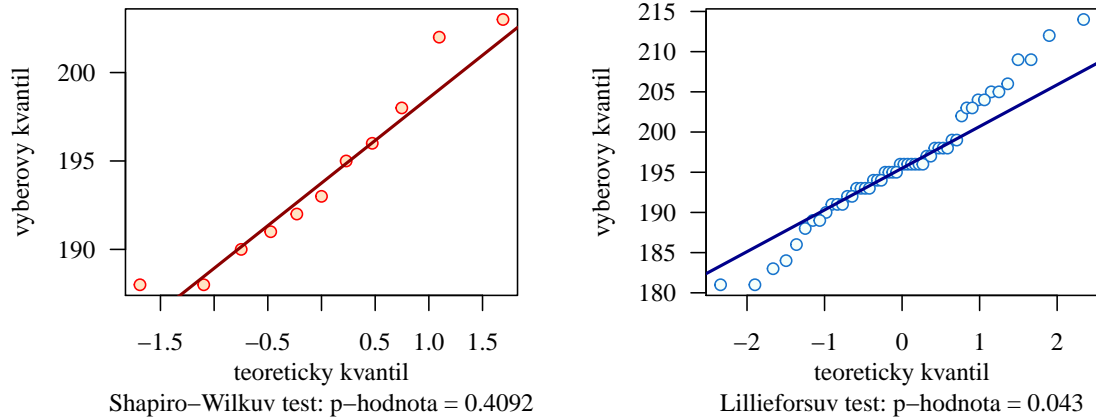
Příklad 12.4. Wilcoxonův dvouvýběrový asymptotický test

Řešení příkladu 12.4

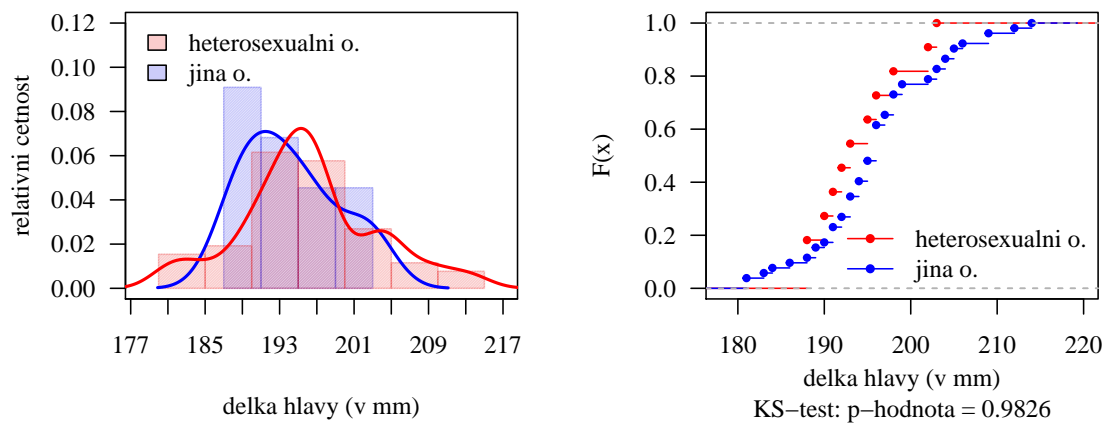
```
139 data <- read.delim('00-Data//16-anova-head.txt')
140 head(data)
141 head.LMSa <- data[data$sex == 'm' & data$sexor == 'sa', 'head.L']
142 head.LMSa <- na.omit(head.LMSa)
143 head.LMOp <- data[data$sex == 'm' & data$sexor == 'op', 'head.L']
144 head.LMOp <- na.omit(head.LMOp)
145 n1 <- length(head.LMSa)
146 n2 <- length(head.LMOp)

147 par(mar = c(5, 4, 1, 2), family = 'Times')
148 qqnorm(head.LMSa, main = '', xlab = '', pch = 21, col = 'red', bg = 'bisque',
149         ylab = 'vyberovy kvantil', las = 1)
150 mtext('teoreticky kvantil', side = 1, line = 2)
151 mtext(bquote(paste('Shapiro-Wilkuv test: p-hodnota = ', .(round(shapiro.test(head.LMSa)$
152     p.val, 4)))), 
153         side = 1, line = 3.2)
154 qqline(head.LMSa, lwd = 2, col = 'darkred')
155 qqnorm(head.LMOp, main = '', xlab = '', pch = 21, col = 'dodgerblue3', bg = 'mintcream',
156         ylab = 'vyberovy kvantil', las = 1)
157 mtext('teoreticky kvantil', side = 1, line = 2)
158 mtext(bquote(paste('Lillieforsuv test: p-hodnota = ', .(round(nortest::lillie.test(head.
159     LMOp)$p.val, 4)))), 
160         side = 1, line = 3.2)
161 qqline(head.LMOp, lwd = 2, col = 'darkblue')
```





Obrázek 7: Kvantilové diagramy délky hlavy mužů orientovaných výhradně heterosexuálně (vlevo) a mužů orientovaných jinak než výhradně heterosexuálně (vpravo)



Obrázek 8: Porovnání histogramů a graf distribučních funkcí délky hlavy mužů orientovaných výhradně heterosexuálně a mužů orientovaných jinak než výhradně heterosexuálně

```

161 par(mar = c(5, 4, 1, 2), family = 'Times')
162 hist(head.LMSa, prob = T, breaks = seq(187, 203, by = 4), main = '', axes = F,
163     col = rgb(0, 0, 0.9, 0.2), density = 80, xlim = c(178, 217),
164     xlab = 'delka hlavy (v mm)', ylim = c(0, 0.12),
165     ylab = 'relativni cetnost')
166
167 hist(head.LMOp, prob = T, breaks = seq(180, 215, by = 5), main = '', axes = F,
168     col = rgb(0.9, 0, 0, 0.2), density = 80, add = T)
169 box(bty = 'o')
170 axis(1, seq(169, 221, by = 4))
171 axis(2, las = 1)
172 lines(density(head.LMSa), lwd = 2, col = 'blue')
173 lines(density(head.LMOp), lwd = 2, col = 'red')
174 legend('topleft', fill = c(rgb(0.9, 0, 0, 0.2), rgb(0, 0, 0.9, 0.2)),
175         legend = c('heterosexualni o.', 'jina o.'), bty = 'n')
176
177 plot(ecdf(head.LMSa), col = 'red', main = '', xlim = c(178, 220),
178     ylab = 'F(x)', xlab = '', las = 1, cex = 0.6)
179 plot(ecdf(head.LMOp), add = T, col = 'blue', cex = 0.6)
180 ks.val <- round(ks.test(head.LMOp - mean(head.LMOp), head.LMSa - (mean(head.LMSa)))$p.
181     val, 4)
182 mtext('delka hlavy (v mm)', side = 1, line = 2.1)
183 mtext(bquote(paste('KS-test: p-hodnota = ', .(ks.val))), side = 1, line = 3.3)
183 legend('bottomright', col = c('red', 'blue'), lty = 1, pch = 20,
184         legend = c('heterosexualni o.', 'jina o.'), bty = 'n')

```

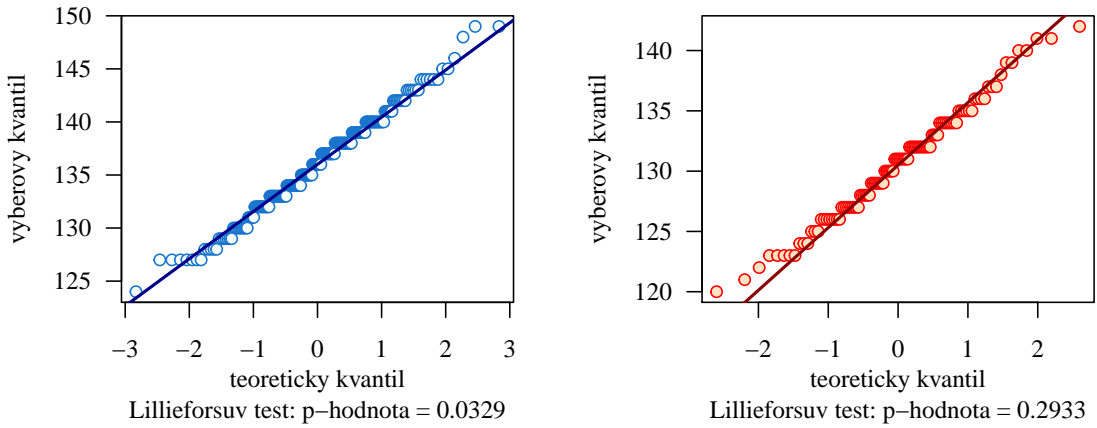
Příklad 12.5. Wilcoxonův dvouvýběrový asymptotický test

Řešení příkladu 12.5

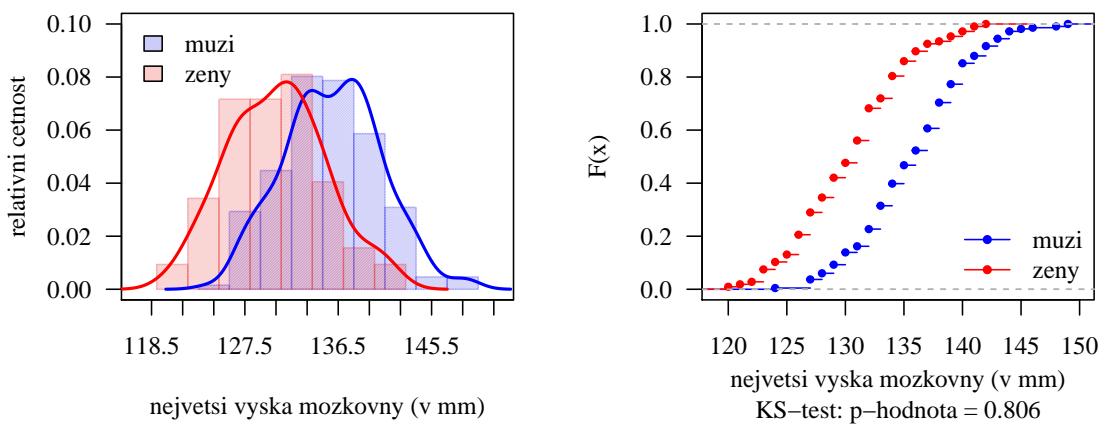
```
185 data <- read.delim('00-Data//05-one-sample-correlation-skull-mf.txt')
186 head(data)
187 skull.pHM <- data[data$sex == 'm', 'skull.pH']
188 skull.pHM <- na.omit(skull.pHM)
189 skull.pHF <- data[data$sex == 'f', 'skull.pH']
190 skull.pHF <- na.omit(skull.pHF)
191 n1 <- length(skull.pHM) # 216
192 n2 <- length(skull.pHF) # 107

193 par(mar = c(5, 4, 1, 2), family = 'Times')
194 qqnorm(skull.pHM, main = '', xlab = '', pch = 21, col = 'dodgerblue3', bg = 'mintcream',
195     ylab = 'vyberovy kvantil', las = 1)
196 mtext('teoreticky kvantil', side = 1, line = 2)
197 mtext(bquote(paste('Lillieforsuv test: p-hodnota = ', .(round(nortest::lillie.test(skull
198     .pHM)$p.val, 4)))), 
199     side = 1, line = 3.2)
200 qqline(skull.pHM, lwd = 2, col = 'darkblue')
201 qqnorm(skull.pHF, main = '', xlab = '', pch = 21, col = 'red', bg = 'bisque',
202     ylab = 'vyberovy kvantil', las = 1)
203 mtext('teoreticky kvantil', side = 1, line = 2)
204 mtext(bquote(paste('Lillieforsuv test: p-hodnota = ', .(round(nortest::lillie.test(skull
205     .pHF)$p.val, 4)))), 
206     side = 1, line = 3.2)
207 qqline(skull.pHF, lwd = 2, col = 'darkred')
```





Obrázek 9: Kvantilové diagramy největší výšky mozkovny mužů (vlevo) a žen (vpravo)



Obrázek 10: Porovnání histogramů a graf distribučních funkcí největší výšky mozkovny mužů a žen

```

207 par(mar = c(5, 4, 1, 2), family = 'Times')
208 hist(skull.pHM, prob = T, breaks = seq(123, 150, by = 3), main = '', axes = F,
209       col = rgb(0, 0, 0.9, 0.2), xlim = c(117, 152), density = 80, ylim = c(0, 0.10),
210       xlab = 'nejvetsi vyska mozkovny (v mm)',
211       ylab = 'relativni cetnost')
212
213 hist(skull.pHF, prob = T, breaks = seq(119, 143, by = 3), main = '', axes = F,
214       col = rgb(0.9, 0, 0, 0.2), density = 80,
215       xlab = 'vyska horni casti tvare (v mm)',
216       ylab = 'relativni cetnost', add = T)
217 box(bty = 'o')
218 axis(1, seq(115.5, 157.5, by = 3))
219 axis(2, las = 1)
220 lines(density(skull.pHM), lwd = 2, col = 'blue')
221 lines(density(skull.pHF), lwd = 2, col = 'red')
222 legend('topleft', fill = c(rgb(0, 0, 0.9, 0.2), rgb(0.9, 0, 0, 0.2)),
223         legend = c('muzi', 'zeny'), bty = 'n')
224
225 plot(ecdf(skull.pHM), col = 'blue', main = '', xlim = c(119, 150), ylab = 'F(x)', xlab =
226       '',
227       cex = 0.6, las = 1)
228 plot(ecdf(skull.pHF), add = T, col = 'red', cex = 0.6)
229 ks.val <- round(ks.test(skull.pHM - mean(skull.pHM), skull.pHF - (mean(skull.pHF)))$p.
230   val, 4)
231 mtext('nejvetsi vyska mozkovny (v mm)', side = 1, line = 2.1)
232 mtext(bquote(paste('KS-test: p-hodnota = ', .(ks.val))), side = 1, line = 3.3)
233 legend('bottomright', col = c('blue', 'red'), lty = 1, pch = 20,
234         legend = c('muzi', 'zeny'), bty = 'n')

```

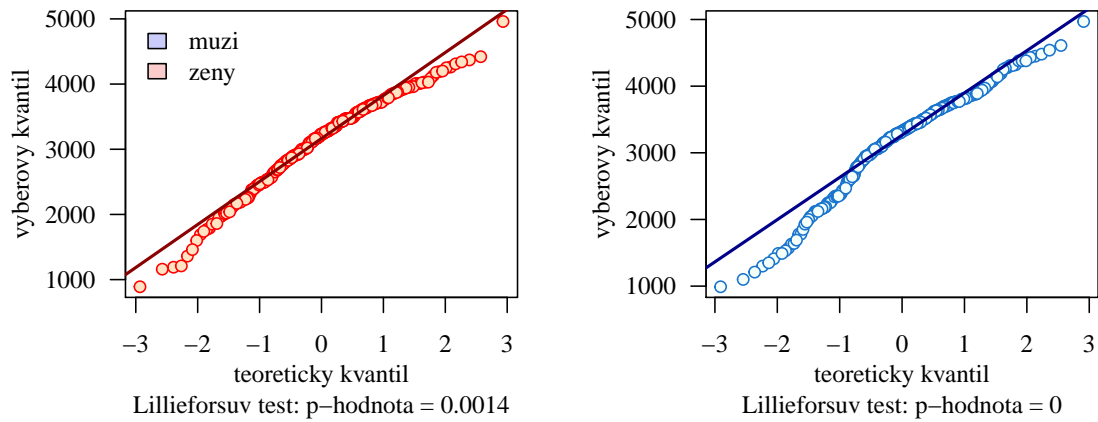
Příklad 12.6. Wilcoxonův dvouvýběrový asymptotický test

Řešení příkladu 12.6

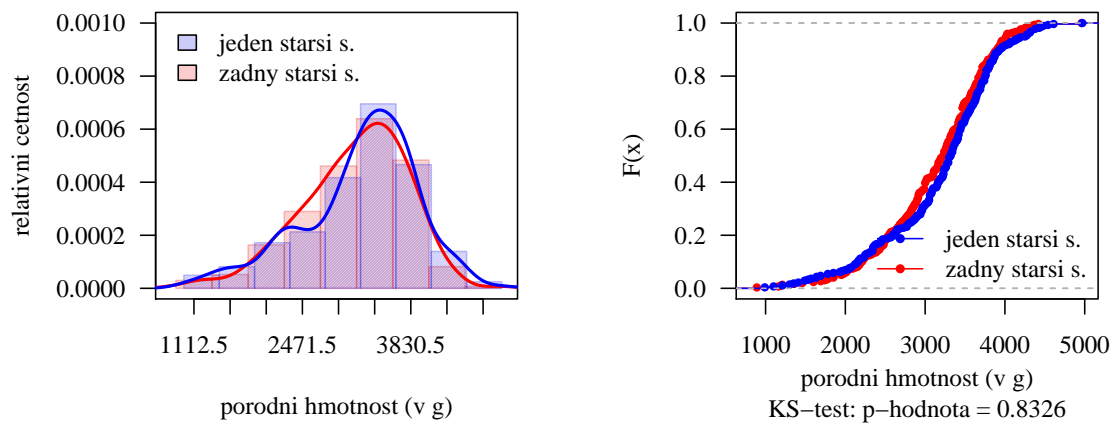
```
233 data <- read.delim('00-Data//10-two-samples-means-birth.txt')
234 head(data)
235 birth.W0 <- data[data$o.sib.N == '0', 'birth.W']
236 birth.W0 <- na.omit(birth.W0)
237 birth.W1 <- data[data$o.sib.N == '1', 'birth.W']
238 birth.W1 <- na.omit(birth.W1)
239 n1 <- length(birth.W0)
240 n2 <- length(birth.W1)

241 par(mar = c(5, 4, 1, 2), family = 'Times')
242 qqnorm(birth.W0, main = '', xlab = '', pch = 21, col = 'red', bg = 'bisque',
243         ylab = 'vyberovy kvantil', las = 1)
244 mtext('teoreticky kvantil', side = 1, line = 2)
245 mtext(bquote(paste('Lillieforsuv test: p-hodnota = ', .(round(nortest::lillie.test(birth
246     .W0)$p.val, 4)))), 
247     side = 1, line = 3.2)
248 qqline(birth.W0, lwd = 2, col = 'darkred')
249 legend('topleft', fill = c(rgb(0, 0, 0.9, 0.2), rgb(0.9, 0, 0, 0.2)),
250         legend = c('muzi', 'zeny'), bty = 'n')
251 qqnorm(birth.W1, main = '', xlab = '', pch = 21, col = 'dodgerblue3', bg = 'mintcream',
252         ylab = 'vyberovy kvantil', las = 1)
253 mtext('teoreticky kvantil', side = 1, line = 2)
254 mtext(bquote(paste('Lillieforsuv test: p-hodnota = ', .(round(nortest::lillie.test(birth
255     .W1)$p.val, 4)))), 
256     side = 1, line = 3.2)
257 qqline(birth.W1, lwd = 2, col = 'darkblue')
```





Obrázek 11: Kvantilové diagramy porodní hmotnosti novorozenců s žádným starším sourozencem (vlevo) a s jedním starším sourozencem (vpravo)



Obrázek 12: Porovnání histogramů a graf distribučních funkcí porodní hmotnosti novorozenců s žádným starším sourozencem a s jedním starším sourozencem

```

256 par(mar = c(5, 5, 1, 2), family = 'Times')
257 hist(birth.W0, prob = T, breaks = seq(886, 4963, by = 453), main = '', axes = F,
258   col = rgb(0.9, 0, 0, 0.2), density = 80, xlim = c(800, 5000),
259   xlab = 'porodni hmotnost (v g)', ylim = c(0, 0.001),
260   ylab = '')
261 hist(birth.W1, prob = T, breaks = seq(986, 4973, by = 443), main = '', axes = F,
262   col = rgb(0, 0, 0.9, 0.2), density = 80, add = T)
263 box(bty = 'o')
264 axis(1, seq(1112.5, 4736.5, by = 453))
265 axis(2, las = 1, at = seq(0, 0.0010, by = 0.0002), labels = c('0.0000', '0.0002',
266   '0.0004', '0.0006', '0.0008', '0.0010'))
267 lines(density(birth.W0), lwd = 2, col = 'red')
268 lines(density(birth.W1), lwd = 2, col = 'blue')
269 mtext('relativni cetnost', side = 2, line = 4)
270 legend('topleft', fill = c(rgb(0, 0, 0.9, 0.2), rgb(0.9, 0, 0, 0.2)),
271   legend = c('jeden starsi s.', 'zadny starsi s.'), bty = 'n')
272 plot(ecdf(birth.W0), col = 'red', main = '', xlim = c(800, 5000),
273   ylab = 'F(x)', xlab = '', cex = 0.6, las = 1)
274 plot(ecdf(birth.W1), add = T, col = 'blue', cex = 0.6)
275 ks.val <- round(ks.test(birth.W1 - mean(birth.W1), birth.W0 - (mean(birth.W0)))$p.val,
276   4)
277 mtext('porodni hmotnost (v g)', side = 1, line = 2.1)
278 mtext(bquote(paste('KS-test: p-hodnota = ', .(ks.val))), side = 1, line = 3.3)
279 legend('bottomright', col = c('blue', 'red'), lty = 1, pch = 20,
280   legend = c('jeden starsi s.', 'zadny starsi s.'), bty = 'n')

```

12.3 Mann-Whitneyův dvouvýběrový test

Nechť X_{11}, \dots, X_{1n_1} , $n_1 \geq 2$ je náhodný výběr ze spojitého rozdělení s distribuční funkcí $F_1(x)$ a X_{21}, \dots, X_{2n_2} , $n_2 > 2$ je na něm nezávislý náhodný výběr ze spojitého rozdělení s distribuční funkcí $F_2(x)$. O distribučních funkcích $F_1(x)$ a $F_2(x)$ předpokládáme, že se navzájem liší pouze posunutím. Nechť dále \tilde{x}_1 je medián náhodného výběru X_{11}, \dots, X_{1n_1} a \tilde{x}_2 je medián náhodného výběru X_{21}, \dots, X_{2n_2} a \tilde{x}_0 je konstanta. Na hladině významnosti α testujeme jednu z následujících tří hypotéz oproti příslušné alternativní hypotéze.

$$\begin{array}{lll} H_{01} : \tilde{x}_1 - \tilde{x}_2 = \tilde{x}_0 & \text{oproti} & H_{11} : \tilde{x}_1 - \tilde{x}_2 \neq \tilde{x}_0 \quad (\text{oboustranná alt.}) \\ H_{02} : \tilde{x}_1 - \tilde{x}_2 \leq \tilde{x}_0 & \text{oproti} & H_{12} : \tilde{x}_1 - \tilde{x}_2 > \tilde{x}_0 \quad (\text{pravostranná alt.}) \\ H_{03} : \tilde{x}_1 - \tilde{x}_2 \geq \tilde{x}_0 & \text{oproti} & H_{13} : \tilde{x}_1 - \tilde{x}_2 < \tilde{x}_0 \quad (\text{levostanná alt.}) \end{array}$$

Test nazýváme Mann-Whitneyův dvouvýběrový test o rozdílu mediánů $\tilde{x}_1 - \tilde{x}_2$. Testovací statistika má tvar

$$U = S_E + \frac{n_2(n_2+1)}{2}, \quad (12.3)$$

kde S_E je testovací statistika definovaná vztahem 12.1, n_2 je rozsah druhého náhodného výběru. Za platnosti nulové hypotézy pochází statistika U_A ze standardizovaného normálního rozdělení, tj.

$$U = S_E + \frac{n_2(n_2+1)}{2} \stackrel{H_0}{\sim} N(0, 1).$$

$$\begin{array}{ll} H_{11} : \tilde{x}_1 - \tilde{x}_2 \neq \tilde{x}_0 & W = \left(-\infty; w_{n_1, n_2}(\alpha/2) - \frac{n_2(n_2+1)}{2} \right) \cup \left(w_{n_1, n_2}(1-\alpha/2) - \frac{n_2(n_2+1)}{2}; \infty \right) \\ H_{12} : \tilde{x}_1 - \tilde{x}_2 > \tilde{x}_0 & W = \left(w_{n_1, n_2}(1-\alpha) - \frac{n_2(n_2+1)}{2}; \infty \right) \\ H_{13} : \tilde{x}_1 - \tilde{x}_2 < \tilde{x}_0 & W = \left(-\infty; w_{n_1, n_2}(\alpha) - \frac{n_2(n_2+1)}{2} \right) \end{array}$$

kde $w_{n_1, n_2}(\alpha/2)$, $w_{n_1, n_2}(1-\alpha/2)$, $w_{n_1, n_2}(\alpha)$, $w_{n_1, n_2}(1-\alpha)$ jsou tabelované kvantily pro dvouvýběrový Wilcoxonův test, jejichž hodnoty získáme příkazem `qwilcox()`.

Interval spolehlivosti má podle zvolené alternativní hypotézy jeden z následujících tvarů

$$\begin{array}{ll} H_{11} : \tilde{x}_1 - \tilde{x}_2 \neq \tilde{x}_0 & (d, h) = \left(U^{(w_{n_1, n_2}(\alpha/2) - \frac{n_2(n_2+1)}{2})}; U^{(w_{n_1, n_2}(1-\alpha/2) + 1 - \frac{n_2(n_2+1)}{2})} \right) \\ H_{12} : \tilde{x}_1 - \tilde{x}_2 > \tilde{x}_0 & (d, \infty) = \left(U^{(w_{n_1, n_2}(\alpha) - \frac{n_2(n_2+1)}{2})}; \infty \right) \\ H_{13} : \tilde{x}_1 - \tilde{x}_2 < \tilde{x}_0 & (-\infty, h) = \left(-\infty; U^{(w_{n_1, n_2}(1-\alpha) + 1 - \frac{n_2(n_2+1)}{2})} \right) \end{array}$$

kde $U^{(1)} \leq \dots \leq U^{(n_1 n_2)}$ značí vzestupně seřazené rozdíly $Y_j - X_i$, $i = 1, \dots, n_1$, $j = 1, \dots, n_2$, a $U^{(x)}$ značí x -tý seřazený rozdíl.

p -hodnota má v závislosti na zvolené alternativní hypotéze jeden z následujících tvarů

$$\begin{array}{ll} H_{11} : \tilde{x}_1 - \tilde{x}_2 \neq \tilde{x}_0 & p\text{-hodnota} = 2 \min\{\Pr(U \leq u), \Pr(U > u)\} \\ H_{12} : \tilde{x}_1 - \tilde{x}_2 > \tilde{x}_0 & p\text{-hodnota} = \Pr(U > u) = 1 - \Pr(U \leq u) \\ H_{13} : \tilde{x}_1 - \tilde{x}_2 < \tilde{x}_0 & p\text{-hodnota} = \Pr(U \leq u) \end{array}$$

kde U je náhodná veličina, u je realizace testovací statistiky U (viz vzorec 12.3), tedy konkrétní číslo, a $\Pr(U \leq u)$ je distribuční funkce tabelovaného rozdělení pro Wilcoxonův dvouvýběrový exaktní test, jejíž hodnotu získáme pomocí  a implementované funkce `pwilcox()`.

Příklad 12.7. Mann-Whitneyův dvouvýběrový test

Řešení příkladu 12.7



```
280 data <- read.delim('00-Data//18-more-samples-variances-clavicle.txt')
281 head(data)
282 cla.LI1 <- data[data$pop == 'ind1', 'cla.L']
283 cla.LI1 <- na.omit(cla.LI1)
284 cla.LI2 <- data[data$pop == 'ind2', 'cla.L']
285 cla.LI2 <- na.omit(cla.LI2)
286
287 wilcox.test(cla.LI1, cla.LI2, alt = 't')$p.val # Z
```

Příklad 12.8. Mann-Whitneyův dvouvýběrový test

Řešení příkladu 12.8



```
288 data <- read.delim('00-Data//15-anova-means-skull.txt')
289 head(data)
290 upface.HN <- data[data$pop == 'nem', 'upface.H']
291 upface.HN <- na.omit(upface.HN)
292 upface.HC <- data[data$pop == 'cin', 'upface.H']
293 upface.HC <- na.omit(upface.HC)
294 wilcox.test(upface.HN, upface.HC, alt = 'g')$p.val # N
295
```

Příklad 12.9. Mann-Whitneyův dvouvýběrový test

Řešení příkladu 12.9



```
296 data <- read.delim('00-Data//19-more-samples-correlations-skull.txt')
297 head(data)
298 intorb.BP <- data[data$pop == 'per', 'intorb.B']
299 intorb.BP <- na.omit(intorb.BP)
300 intorb.BB <- data[data$pop == 'ban', 'intorb.B']
301 intorb.BB <- na.omit(intorb.BB)
302
303 wilcox.test(intorb.BP, intorb.BB, alt = 'l')$p.val # Z
```